

<sup>112</sup>Sn(<sup>32</sup>S,2pn $\gamma$ ) **1993Mu05**

Type	Author	History Citation	Literature Cutoff Date
Full Evaluation	N. Nica	NDS 187,1 (2023)	12-Oct-2022

**1993Mu05:** <sup>112</sup>Sn(<sup>32</sup>S,2pn $\gamma$ ) E=155 MeV and <sup>112</sup>Sn(<sup>33</sup>S,2n2p $\gamma$ ) E=170 MeV. Measured  $\gamma$ ,  $\gamma\gamma$  using 8 $\pi$  array with 20 Ge detectors and 70 BGO inner-ball detectors. Evaporated charged particles detected with array of 24 CsI(Tl) crystals.

**1993Ca14:** <sup>112</sup>Sn(<sup>35</sup>Cl, $\alpha$ pn $\gamma$ ) E=159 MeV and <sup>89</sup>Y(<sup>58</sup>Ni, $\alpha$ pn $\gamma$ ) E=250 MeV. Measured  $\gamma$ ,  $\gamma\gamma$  using an array of six Ge detectors and 14 BaF<sub>2</sub> detectors.

The level scheme from **1993Ca14** is less complete than that from **1993Mu05**. There are two differences in the placement of transitions in partial level scheme of **1993Ca14**: 1. Ordering of 243-624 is reversed. 2. The 287 transition is placed above 2447 level instead of its location much higher up in the level scheme as given by **1993Mu05**.

<sup>141</sup>Gd Levels

E(level) <sup>†</sup>	J $\pi$ <sup>‡</sup>	E(level) <sup>†</sup>	J $\pi$ <sup>‡</sup>	E(level) <sup>†</sup>	J $\pi$ <sup>‡</sup>	E(level) <sup>†</sup>	J $\pi$ <sup>‡</sup>
0.0	1/2 <sup>+</sup>	1661.1 <i>14</i>	17/2 <sup>-</sup>	3232.7 <sup>#</sup> <i>22</i>	21/2 <sup>(+)</sup>	5213 <sup>#</sup> <i>3</i>	33/2 <sup>(+)</sup>
112.6 <i>8</i>	3/2 <sup>+</sup>	1670.8 <sup>c</sup> <i>15</i>	19/2 <sup>-</sup>	3277.8 <sup>@</sup> <i>19</i>	23/2 <sup>-</sup>	5265 <sup>@</sup> <i>3</i>	35/2 <sup>-</sup>
197.1 <i>8</i>	3/2 <sup>+</sup>	1872.5 <sup>b</sup> <i>16</i>	(13/2 <sup>-</sup> )	3307.4 <sup>&amp;</sup> <i>18</i>	27/2 <sup>-</sup>	5775 <i>3</i>	39/2 <sup>(-)</sup>
257.6 <i>7</i>	5/2 <sup>+</sup>	2136.2 <i>16</i>	19/2 <sup>-</sup>	3383.0 <sup>a</sup> <i>24</i>	27/2 <sup>(-)</sup>	6035 <sup>#</sup> <i>3</i>	37/2 <sup>(+)</sup>
377.4 <sup>c</sup> <i>10</i>	11/2 <sup>-</sup>	2149.4 <sup>#</sup> <i>16</i>	13/2 <sup>(+)</sup>	3593.9 <sup>&amp;</sup> <i>21</i>	29/2 <sup>-</sup>	6124 <sup>@</sup> <i>3</i>	39/2 <sup>-</sup>
491.2 <i>11</i>	(5/2 <sup>+</sup> )	2253.7 <i>15</i>	15/2 <sup>-</sup>	3778.5 <sup>@</sup> <i>22</i>	27/2 <sup>-</sup>	6925 <sup>#</sup> <i>3</i>	41/2 <sup>(+)</sup>
514.0 <i>12</i>	9/2 <sup>-</sup>	2275.8 <i>15</i>	15/2 <sup>-</sup>	3807.9 <sup>a</sup> <i>25</i>	29/2 <sup>(-)</sup>	7030 <sup>@</sup> <i>3</i>	43/2 <sup>-</sup>
550.9 <i>10</i>	7/2 <sup>-</sup>	2447.2 <i>16</i>	21/2 <sup>-</sup>	3813.4 <sup>#</sup> <i>24</i>	25/2 <sup>(+)</sup>	7873 <sup>#</sup> <i>4</i>	45/2 <sup>(+)</sup>
894.5 <i>11</i>	(7/2 <sup>-</sup> )	2516.3 <sup>a</sup> <i>19</i>	23/2 <sup>(-)</sup>	3915.3 <sup>&amp;</sup> <i>23</i>	31/2 <sup>-</sup>	8111 <sup>@</sup> <i>3</i>	47/2 <sup>-</sup>
907.0 <sup>c</sup> <i>13</i>	15/2 <sup>-</sup>	2561.0 <sup>c</sup> <i>17</i>	23/2 <sup>-</sup>	4057.8 <sup>a</sup> <i>25</i>	31/2 <sup>(-)</sup>	8854 <sup>#</sup> <i>4</i>	49/2 <sup>(+)</sup>
940.0 <i>11</i>	7/2 <sup>-</sup>	2596.8 <sup>b</sup> <i>19</i>	(17/2 <sup>-</sup> )	4299.5 <sup>&amp;</sup> <i>25</i>	33/2 <sup>-</sup>	9379? <sup>@</sup>	(51/2)
989.4 <i>14</i>	7/2 <sup>-</sup>	2684.7 <sup>#</sup> <i>19</i>	17/2 <sup>(+)</sup>	4449.0 <sup>@</sup> <i>24</i>	31/2 <sup>-</sup>	9883 <sup>#</sup> <i>4</i>	53/2 <sup>(+)</sup>
994.6 <i>13</i>	13/2 <sup>-</sup>	2759.0 <sup>a</sup> <i>21</i>	25/2 <sup>(-)</sup>	4470 <sup>#</sup> <i>3</i>	29/2 <sup>(+)</sup>	10958 <sup>#</sup> <i>4</i>	57/2 <sup>(+)</sup>
1281.7 <sup>b</sup> <i>12</i>	9/2 <sup>-</sup>	2874.3 <sup>@</sup> <i>16</i>	19/2 <sup>-</sup>	4679 <sup>&amp;</sup> <i>3</i>	35/2 <sup>-</sup>	12108 <sup>#</sup> <i>4</i>	61/2 <sup>(+)</sup>
1547.0 <i>13</i>	11/2 <sup>-</sup>	3147.8 <sup>&amp;</sup> <i>18</i>	25/2 <sup>-</sup>	4894 <i>3</i>	35/2 <sup>(-)</sup>	13320? <sup>#</sup>	(65/2 <sup>+</sup> )

<sup>†</sup> From least-squares fit to E $\gamma$  data with  $\Delta E\gamma=1$  keV for E $\gamma$ 's without uncertainty assigned by evaluator.

<sup>‡</sup> Based on rotational band structure and DCO ratios.

# Band(A): neutron i<sub>13/2</sub> band,  $\alpha=+1/2$ .

@ Band(B):  $\Delta J=2$ , based on 19/2<sup>-</sup>.

& Band(C):  $\Delta J=1$ , based on 25/2<sup>-</sup>.

<sup>a</sup> Band(D):  $\Delta J=1$ , based on 23/2<sup>-</sup>.

<sup>b</sup> Band(E):  $\Delta J=2$ , based on 9/2<sup>-</sup>.

<sup>c</sup> Band(F):  $\Delta J=2$ , based on 11/2<sup>-</sup>.

$\gamma(^{141}\text{Gd})$

E $\gamma$	E <sub>i</sub> (level)	J $\pi$ <sub>i</sub>	E <sub>f</sub>	J $\pi$ <sub>f</sub>	E $\gamma$	E <sub>i</sub> (level)	J $\pi$ <sub>i</sub>	E <sub>f</sub>	J $\pi$ <sub>f</sub>
59.8	257.6	5/2 <sup>+</sup>	197.1	3/2 <sup>+</sup>	257.9	257.6	5/2 <sup>+</sup>	0.0	1/2 <sup>+</sup>
113.1	112.6	3/2 <sup>+</sup>	0.0	1/2 <sup>+</sup>	265.7	1547.0	11/2 <sup>-</sup>	1281.7	9/2 <sup>-</sup>
119.5	377.4	11/2 <sup>-</sup>	257.6	5/2 <sup>+</sup>	286.5 <sup>#</sup>	3593.9	29/2 <sup>-</sup>	3307.4	27/2 <sup>-</sup>
136.5	514.0	9/2 <sup>-</sup>	377.4	11/2 <sup>-</sup>	293.1	550.9	7/2 <sup>-</sup>	257.6	5/2 <sup>+</sup>
145.0	257.6	5/2 <sup>+</sup>	112.6	3/2 <sup>+</sup>	321.4	3915.3	31/2 <sup>-</sup>	3593.9	29/2 <sup>-</sup>
159.5	3307.4	27/2 <sup>-</sup>	3147.8	25/2 <sup>-</sup>	342.0	1281.7	9/2 <sup>-</sup>	940.0	7/2 <sup>-</sup>
173.5	550.9	7/2 <sup>-</sup>	377.4	11/2 <sup>-</sup>	343.3	894.5	(7/2 <sup>-</sup> )	550.9	7/2 <sup>-</sup>
196.3	197.1	3/2 <sup>+</sup>	0.0	1/2 <sup>+</sup>	379.1	491.2	(5/2 <sup>+</sup> )	112.6	3/2 <sup>+</sup>
242.7 <sup>‡</sup>	2759.0	25/2 <sup>(-)</sup>	2516.3	23/2 <sup>(-)</sup>	379.1	4679	35/2 <sup>-</sup>	4299.5	33/2 <sup>-</sup>
250.0	4057.8	31/2 <sup>(-)</sup>	3807.9	29/2 <sup>(-)</sup>	380.1	2516.3	23/2 <sup>(-)</sup>	2136.2	19/2 <sup>-</sup>

$^{112}\text{Sn}(^{32}\text{S},2\text{pn}\gamma)$  1993Mu05 (continued) $\gamma(^{141}\text{Gd})$  (continued)

$E_\gamma$	$E_i(\text{level})$	$J_i^\pi$	$E_f$	$J_f^\pi$	Mult. <sup>†</sup>
384.2	4299.5	33/2 <sup>-</sup>	3915.3	31/2 <sup>-</sup>	
387.5	1281.7	9/2 <sup>-</sup>	894.5	(7/2 <sup>-</sup> )	
389.0	940.0	7/2 <sup>-</sup>	550.9	7/2 <sup>-</sup>	
403.6	3277.8	23/2 <sup>-</sup>	2874.3	19/2 <sup>-</sup>	
403.7	894.5	(7/2 <sup>-</sup> )	491.2	(5/2 <sup>+</sup> )	
425.0	3807.9	29/2 <sup>(-)</sup>	3383.0	27/2 <sup>(-)</sup>	
426.1	940.0	7/2 <sup>-</sup>	514.0	9/2 <sup>-</sup>	
465.4	2136.2	19/2 <sup>-</sup>	1670.8	19/2 <sup>-</sup>	
475.0	2136.2	19/2 <sup>-</sup>	1661.1	17/2 <sup>-</sup>	
475.1	989.4	7/2 <sup>-</sup>	514.0	9/2 <sup>-</sup>	
500.6	3778.5	27/2 <sup>-</sup>	3277.8	23/2 <sup>-</sup>	
529.6	907.0	15/2 <sup>-</sup>	377.4	11/2 <sup>-</sup>	
535.3	2684.7	17/2 <sup>(+)</sup>	2149.4	13/2 <sup>(+)</sup>	E2
548.0	3232.7	21/2 <sup>(+)</sup>	2684.7	17/2 <sup>(+)</sup>	E2
557.3	1547.0	11/2 <sup>-</sup>	989.4	7/2 <sup>-</sup>	
562.5	940.0	7/2 <sup>-</sup>	377.4	11/2 <sup>-</sup>	
580.7	3813.4	25/2 <sup>(+)</sup>	3232.7	21/2 <sup>(+)</sup>	E2
590.8	1872.5	(13/2 <sup>-</sup> )	1281.7	9/2 <sup>-</sup>	
598.5	2874.3	19/2 <sup>-</sup>	2275.8	15/2 <sup>-</sup>	
602.4	2149.4	13/2 <sup>(+)</sup>	1547.0	11/2 <sup>-</sup>	(D) <sup>@</sup>
606.9	1547.0	11/2 <sup>-</sup>	940.0	7/2 <sup>-</sup>	
617.3	994.6	13/2 <sup>-</sup>	377.4	11/2 <sup>-</sup>	
620.5	2874.3	19/2 <sup>-</sup>	2253.7	15/2 <sup>-</sup>	
624.0 <sup>‡</sup>	3383.0	27/2 <sup>(-)</sup>	2759.0	25/2 <sup>(-)</sup>	
657.1	4470	29/2 <sup>(+)</sup>	3813.4	25/2 <sup>(+)</sup>	E2
666.5	1661.1	17/2 <sup>-</sup>	994.6	13/2 <sup>-</sup>	
670.5	4449.0	31/2 <sup>-</sup>	3778.5	27/2 <sup>-</sup>	
674.8	4057.8	31/2 <sup>(-)</sup>	3383.0	27/2 <sup>(-)</sup>	
700.4	3147.8	25/2 <sup>-</sup>	2447.2	21/2 <sup>-</sup>	
706.7	2253.7	15/2 <sup>-</sup>	1547.0	11/2 <sup>-</sup>	
724.3	2596.8	(17/2 <sup>-</sup> )	1872.5	(13/2 <sup>-</sup> )	
728.8	2275.8	15/2 <sup>-</sup>	1547.0	11/2 <sup>-</sup>	
742.6	5213	33/2 <sup>(+)</sup>	4470	29/2 <sup>(+)</sup>	E2
746.6	3307.4	27/2 <sup>-</sup>	2561.0	23/2 <sup>-</sup>	
754.0	1661.1	17/2 <sup>-</sup>	907.0	15/2 <sup>-</sup>	
763.9	1670.8	19/2 <sup>-</sup>	907.0	15/2 <sup>-</sup>	
776.2	2447.2	21/2 <sup>-</sup>	1670.8	19/2 <sup>-</sup>	
786.1	2447.2	21/2 <sup>-</sup>	1661.1	17/2 <sup>-</sup>	
815.9	5265	35/2 <sup>-</sup>	4449.0	31/2 <sup>-</sup>	
822.4	6035	37/2 <sup>(+)</sup>	5213	33/2 <sup>(+)</sup>	E2
836.1	4894	35/2 <sup>(-)</sup>	4057.8	31/2 <sup>(-)</sup>	
859.0	6124	39/2 <sup>-</sup>	5265	35/2 <sup>-</sup>	
880.6	5775	39/2 <sup>(-)</sup>	4894	35/2 <sup>(-)</sup>	
889.6	6925	41/2 <sup>(+)</sup>	6035	37/2 <sup>(+)</sup>	E2
890.3	2561.0	23/2 <sup>-</sup>	1670.8	19/2 <sup>-</sup>	
906.4	7030	43/2 <sup>-</sup>	6124	39/2 <sup>-</sup>	
948.3	7873	45/2 <sup>(+)</sup>	6925	41/2 <sup>(+)</sup>	E2
981.0	8854	49/2 <sup>(+)</sup>	7873	45/2 <sup>(+)</sup>	E2
1028.9	9883	53/2 <sup>(+)</sup>	8854	49/2 <sup>(+)</sup>	E2
1075	10958	57/2 <sup>(+)</sup>	9883	53/2 <sup>(+)</sup>	E2
1081.2	8111	47/2 <sup>-</sup>	7030	43/2 <sup>-</sup>	
1150	12108	61/2 <sup>(+)</sup>	10958	57/2 <sup>(+)</sup>	E2

Continued on next page (footnotes at end of table)

$^{112}\text{Sn}(^{32}\text{S},2\text{pn}\gamma)$  1993Mu05 (continued) $\gamma(^{141}\text{Gd})$  (continued)

<u><math>E_\gamma</math></u>	<u><math>E_i(\text{level})</math></u>	<u><math>J_i^\pi</math></u>	<u><math>E_f</math></u>	<u><math>J_f^\pi</math></u>	<u>Mult.<sup>†</sup></u>
1212 <sup>&amp;</sup>	13320?	(65/2 <sup>+</sup> )	12108	61/2 <sup>(+)</sup>	(E2)
1268 <sup>&amp;</sup>	9379?	(51/2)	8111	47/2 <sup>-</sup>	

<sup>†</sup> Stretched quadrupole transitions connecting members of i13/2 band have a mean DCO=1.9 and are assumed stretched E2.

<sup>‡</sup> Reversed ordering of 243-624 cascade in 1993Ca14.

# This transition is placed above 2447 level by 1993Ca14.

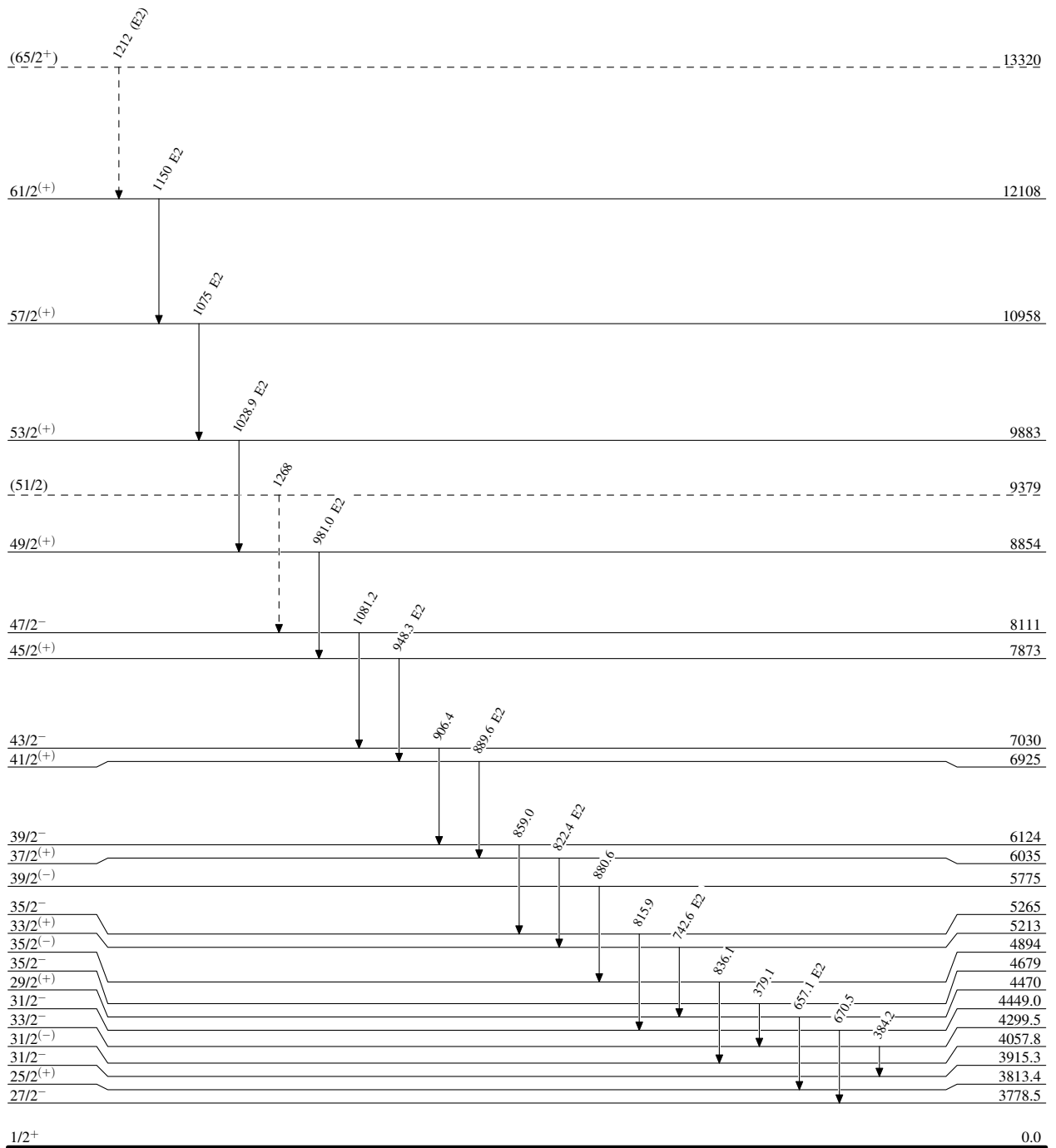
@  $\Delta J=1$ , DCO=1.1,  $\delta=-0.025$  indicating probable E1.

& Placement of transition in the level scheme is uncertain.

$^{112}\text{Sn}(^{32}\text{S},2\text{pn}\gamma)$  1993Mu05

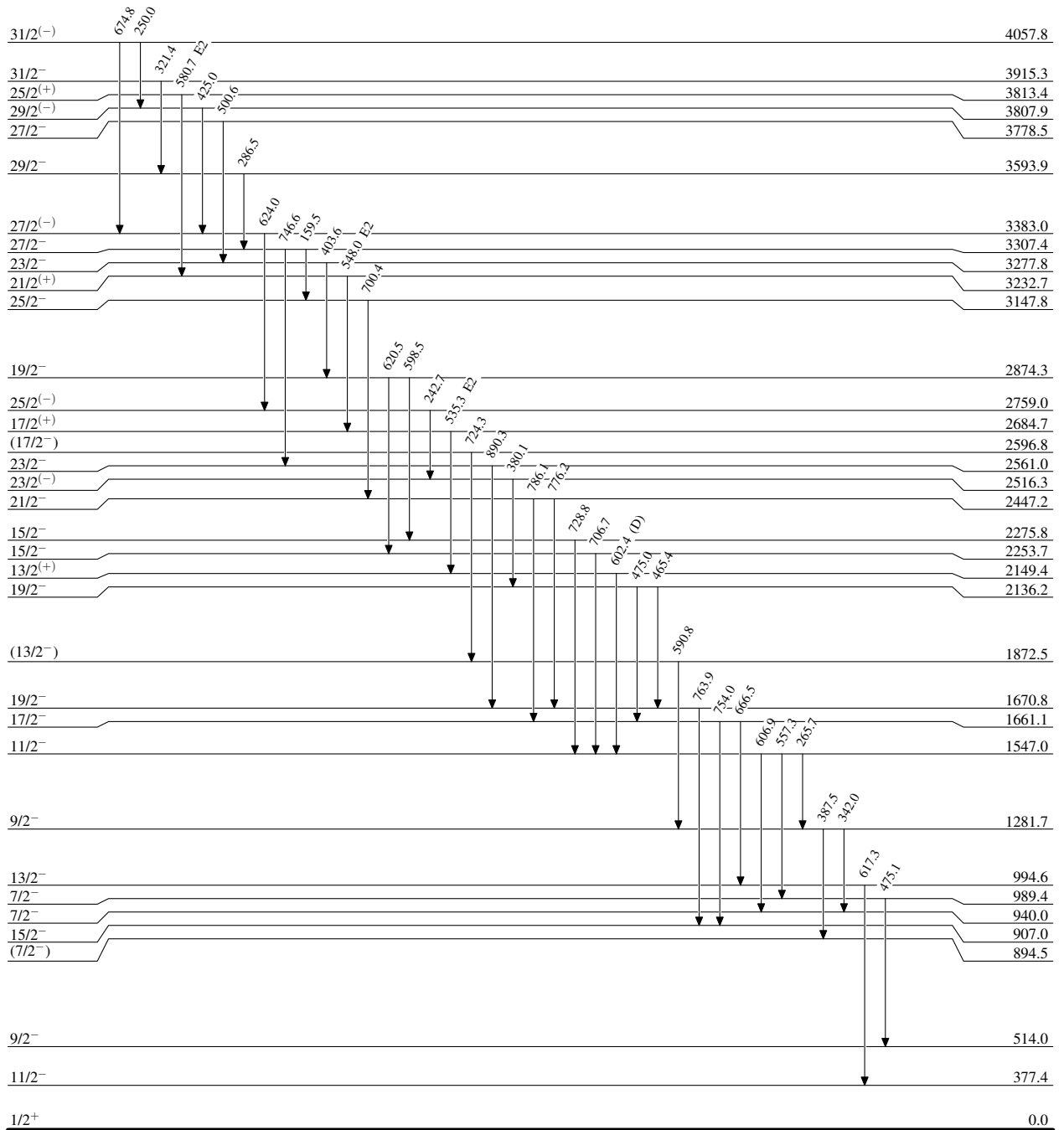
Legend

## Level Scheme

-----►  $\gamma$  Decay (Uncertain) $^{141}_{64}\text{Gd}_{77}$

$^{112}\text{Sn}(^{32}\text{S},2\text{pn}\gamma)$  1993Mu05

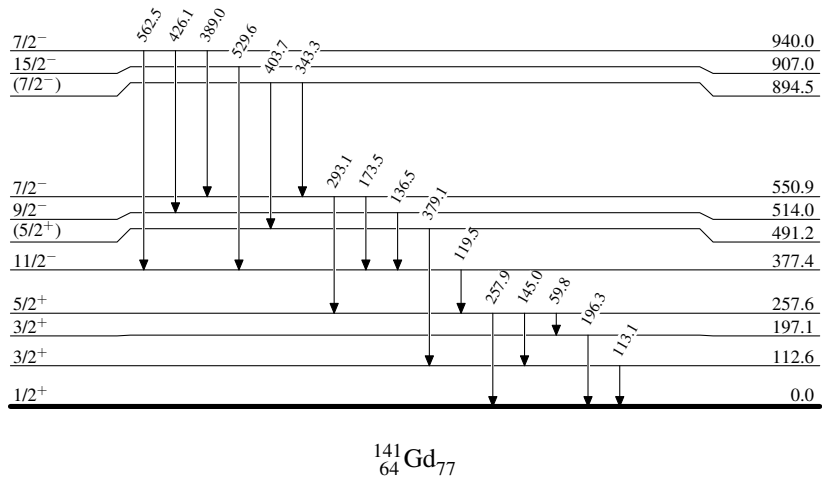
Level Scheme (continued)



$^{141}_{64}\text{Gd}_{77}$

$^{112}\text{Sn}(^{32}\text{S},2\text{pn}\gamma)$  1993Mu05

## Level Scheme (continued)



$^{112}\text{Sn}(^{32}\text{S},2\text{pn}\gamma)$  1993Mu05

Band(A): Neutron  $i_{13/2}$   
band,  $\alpha=+1/2$

(65/2 <sup>+</sup> )	13320
1212	
61/2(+) ↓	12108
1150	
57/2(+) ↓	10958
1075	
53/2(+) ↓	9883
1029	
49/2(+) ↓	8854
981	
45/2(+) ↓	7873
948	
41/2(+) ↓	6925
890	
37/2(+) ↓	6035
822	
33/2(+) ↓	5213
743	
29/2(+) ↓	4470
657	
25/2(+) ↓	3813.4
581	
21/2(+) ↓	3232.7
548	
17/2(+) ↓	2684.7
535	
13/2(+) ↓	2149.4

Band(B):  $\Delta J=2$ , based on  
19/2<sup>-</sup>

(51/2)	9379
1268	
47/2 <sup>-</sup> ↓	8111
1081	
43/2 <sup>-</sup> ↓	7030
906	
39/2 <sup>-</sup> ↓	6124
859	
35/2 <sup>-</sup> ↓	5265
816	
31/2 <sup>-</sup> ↓	4449.0
670	
27/2 <sup>-</sup> ↓	3778.5
501	
23/2 <sup>-</sup> ↓	3277.8
404	
19/2 <sup>-</sup> ↓	2874.3

Band(C):  $\Delta J=1$ , based on  
25/2<sup>-</sup>

35/2 <sup>-</sup>	4679
379	
33/2 <sup>-</sup> ↓	4299.5
384	
31/2 <sup>-</sup> ↓	3915.3
321	
29/2 <sup>-</sup> ↓	3593.9
286	
27/2 <sup>-</sup> ↓	3307.4
160	
25/2 <sup>-</sup> ↓	3147.8

Band(D):  $\Delta J=1$ , based on  
23/2<sup>-</sup>

31/2 <sup>(-)</sup>	4057.8
250	
29/2 <sup>(-)</sup> ↓	3807.9
675	
27/2 <sup>(-)</sup> ↓	3383.0
425	
624	
25/2 <sup>(-)</sup> ↓	2759.0
243	
23/2 <sup>(-)</sup> ↓	2516.3

Band(E):  $\Delta J=2$ , based on  
9/2<sup>-</sup>

(17/2 <sup>-</sup> )	2596.8
724	
(13/2 <sup>-</sup> ) ↓	1872.5
591	
9/2 <sup>-</sup> ↓	1281.7

Band(F):  $\Delta J=2$ , based on  
11/2<sup>-</sup>

23/2 <sup>-</sup>	2561.0
890	
19/2 <sup>-</sup> ↓	1670.8
764	
15/2 <sup>-</sup> ↓	907.0
530	
11/2 <sup>-</sup> ↓	377.4